

SISTEMAS REALES

La idea de este capítulo es aprender a desarrollar en serie.

A priori esto es un cristo: todas las partículas interactúan con todas, hay afrontamientos...

estos a lo que se conoce
como "partículas virtuales"

Otra aproximación es considerar que los reinos crean un campo promedio (v.g., negativo en el interior e positivo) y es este campo promedio el que interactúa con las partículas.

Por otra parte, cuando la negatividad es mucha menor que kT , la interacción se puede comparar con el desorden térmico y aparece una transición de fase. (Las fuerzas de fondo son intensas o debiles)

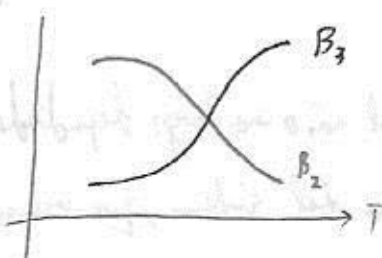
\downarrow
 \rightarrow g.; fondo \rightarrow para

Climatek

DESARROLLO DEL VIRIAL → en general un sistema no interactuante: las medidas son fáciles de realizar y se pueden obtener apartir de los sistemas con interacción
Luego se realizan las siguientes aproximaciones de la presión:

$$P = \frac{RT}{V} \left[1 + \frac{B_2(T)}{n} + \frac{B_3(T)}{n^2} + \dots \right]$$

Los coeficientes se pueden hallar desde teoría o desde experimento. Generalmente:



donde los valores de B_3 es ~ 2 órdenes
de negatividad inferior a los de B_2

Análogamente, se puede hacer:

$$v = \frac{RT}{P} [1 + B_2'(T)P + B_3'(T)P^2 + \dots]$$

$$B_2'(T) = \frac{B_2(T)}{RT}$$

$$B_3'(T) = \frac{B_3(T) - B_2^2(T)}{(RT)^2}$$

la energía libre vale:

$$F = - \int P dV = F(T) + RT \sum_{n=2}^{6P} \frac{B_n(T)}{n-1} \frac{1}{n-1}$$

Para hallar los coeficientes, usaremos un método desarrollado por M. G. Mayer.

$$U = \sum_i \frac{1}{2} \vec{r}_i^2 + U(\vec{r}_1, \dots, \vec{r}_N)$$

$$\text{en el nanocavío, } Z = \sum_N \left[e^{PM_N \left(\sum_i \frac{\vec{r}_i^2}{2h^2} - PV \right)} \right] = \sum_N e^{PM_N \frac{1}{(Nh)^{3N}} \int e^{-PV} d^3r} \quad \begin{matrix} \text{Porque las} \\ \text{partículas son indistintas.} \end{matrix}$$

$$\underbrace{\int e^{-PV} d^3r}_B$$

$$\text{definimos } Q_N = \frac{1}{V^N} \int e^{-PV(\vec{r}_1, \dots, \vec{r}_N)} d^3r = \frac{B}{V^N}, \text{ la integral de configuración}$$

(a la relación con la configuración del interior)

esta integral tiene un potencial más o menos largo dependiendo de la aproximación de vértices, y por tanto de la configuración geométrica del sistema, que usamos.

Aní,

$$Z = \sum \left(e^{\frac{PM\sqrt{(2\pi m kT)^{1/2}}}{h^3}} \right)^N \frac{1}{N!} Q_N = \sum \frac{1}{N!} \tilde{\chi}^N Q_N$$

$$P.V = kT \ln Z = kT \ln \left[1 + \underbrace{\tilde{\chi} Q_1 + \frac{1}{2!} \tilde{\chi}^2 Q_2 + \frac{1}{3!} \tilde{\chi}^3 Q_3 + \dots}_X \right]$$

dado que
se ha desarrollado

χ son correcciones al gas ideal \Rightarrow pequeñas \Rightarrow desarrollo - serie

$$P.V = kT \left[(\tilde{\chi} Q_1 + \frac{1}{2} \tilde{\chi}^2 Q_2 + \dots) - \frac{1}{2} (\tilde{\chi} Q_1 + \frac{1}{2} \tilde{\chi}^2 Q_2 + \dots)^2 + \frac{1}{3!} (\dots)^3 - \dots \right]$$

reagrupando:

$$P.V = kT \left[\tilde{\chi} Q_1 + \frac{1}{2} \tilde{\chi}^2 (Q_2 - Q_1) + \frac{Q_3 - 3Q_1 Q_2 + 2Q_1^3}{6} \tilde{\chi}^3 + \dots \right] :$$

$$= kT \sum_n b_n \tilde{\chi}^n$$

$$b_1 = Q_1 = 1$$

$$b_2 = \frac{Q_2 - Q_1}{2}$$

$$b_3 = \frac{Q_3 - 3Q_1 Q_2 + 2Q_1^3}{6}$$

(en principio los b_n son calculables
mediante fórmulas)

Para que esto tenga sentido completo, necesitamos dejar el potencial químico. La variable
relacionada con μ es N :

$$N = kT \frac{\partial \ln Z}{\partial \mu} = kT \frac{\partial \ln Z}{\partial \tilde{\chi}} \frac{\partial \tilde{\chi}}{\partial \mu} \quad \text{y } Z \propto N^{\tilde{\chi}}$$

teniendo en cuenta:

$$N = \sum_n n b_n \tilde{\chi}^n . \text{ Si despejamos } \tilde{\chi}^1 \text{ y sustituimos:}$$

$$\gamma = N - 2l_2 N^2 + (8l_2^2 - 3l_3) N^3 + \dots$$

$$PV = NkT - l_2 N^2 + (4l_2^2 - 2l_3) N^3 + \dots$$

Sustituyendo a la ecuación del virial (el r que aparece ahí es volumen específico):

$$P = \frac{NRT}{V} \left[1 + \frac{B_2(T)}{V} N + \frac{B_3(T)}{V^2} N^2 + \dots \right]$$

$$B_2(T) = -Vl_2$$

$$B_3(T) = (4l_2^2 - 2l_3)V^2$$

(aqui V es el volumen de todo el sistema)

(Podrá que coger más términos, cuanto menor ideal sea el gas)

Aquí entra Mayer: ¿Cómo calcular los coeficientes del virial?

Supongamos, Q_i es la interacción de i partículas. En lo que sigue, consideraremos que las interacciones son binarias (cada componente, i , j , aisladas)

$$Q_1 = \frac{1}{V} \int d\vec{r}_1 = \frac{V}{V} = 1$$

Via partícula

no interacciona entre

$\approx V_{12}$

$$\Rightarrow l_2 = \frac{Q_2 - Q_1^2}{2} = \frac{1}{2} \left[\frac{1}{V^2} \iint e^{-\beta V_{12}} d\vec{r}_1 d\vec{r}_2 - \left(\frac{1}{V} \int d\vec{r}_1 \right)^2 \right]$$

$$Q_2 = \frac{1}{V^2} \iint e^{-\beta V(\vec{r}_1, \vec{r}_2)} d\vec{r}_1 d\vec{r}_2$$

tanto que aparece \approx en volumen específico

$$\text{así, } l_2 = \frac{1}{2V^2} \iint (e^{-\beta V_{12}} - 1) d\vec{r}_1 d\vec{r}_2 \Rightarrow R_2 = -\frac{N}{2V} \iint (e^{-\beta V_{12}} - 1) d\vec{r}_1 d\vec{r}_2 \approx$$

$$\approx -\frac{N^2}{2V} \iint f_{12} d\vec{r}_1 d\vec{r}_2$$

aní:

$$Q_n = \frac{1}{V^n} \int \dots \int e^{-\beta \sum V(\vec{r}_i, \vec{r}_j)} d\vec{r}_1 \dots d\vec{r}_n$$

(notar sólo la interacción que considera 1° vecina, p. ej.)
la geometría no es un factor esto

por tanto

$$l_3 = \frac{1}{6} \left[\frac{1}{V^3} \iiint_{\substack{1+f_{12} \\ 1+f_{13} \\ 1+f_{23}}} e^{-\beta V_{12}} - e^{-\beta V_{13}} - e^{-\beta V_{23}} d\vec{r}_1 d\vec{r}_2 d\vec{r}_3 - \frac{3}{V^3} \underbrace{\iint e^{-\beta V_{12}} d\vec{r}_1 d\vec{r}_2}_{\text{término de }} \int d\vec{r}_3 + \right.$$

$$\left. - \frac{3}{V^3} \iint (1+f_{12}) d\vec{r}_1 d\vec{r}_2 d\vec{r}_3 ! \right] - \frac{1}{V^3} \iiint [(1+f_{12}) + (1+f_{13}) + (1+f_{23})] d\vec{r}_1 d\vec{r}_2 d\vec{r}_3$$

$$+ \frac{2}{V^3} \left[\int d\vec{r}_1 \right]^3 =$$

$$\iint d\vec{r}_1 d\vec{r}_2 d\vec{r}_3$$

$$= \frac{1}{6V^3} \iiint (\beta_{12} f_{13} f_{23} + \beta_{12} f_{13} + \beta_{12} f_{23} + \beta_{13} f_{23}) d\vec{r}_1 d\vec{r}_2 d\vec{r}_3$$

Además, $B_3(T) = N_A^2 V^2 (4l_2^2 - 2l_3)$. Luego $l_2^2 = \frac{1}{4V^4} \left(\iiint \beta_{12} d\vec{r}_1 d\vec{r}_2 \right) \left(\iiint f_{12} f_{13} f_{23} d\vec{r}_1 d\vec{r}_2 d\vec{r}_3 \right)^{\frac{1}{3}}$

$$= \frac{1}{4V^3} \int d\vec{r}_3 \iiint \beta_{12} f_{13} d\vec{r}_1 d\vec{r}_2 d\vec{r}_3 , \text{ sustituir:}$$

$$B_3(T) = \frac{N_A^2}{3V} \iiint f_{12} f_{13} f_{23} d\vec{r}_1 d\vec{r}_2 d\vec{r}_3$$

Conseguirán:

$$l_n = \frac{1}{n! V^n} \int \dots \int S_n d\vec{r}_1 \dots d\vec{r}_n$$

$$B_n = \frac{(n-1) N_A^{(n-1)}}{n! V} \int \dots \int S'_n d\vec{r}_1 \dots d\vec{r}_n$$

con S_n y S'_n la suma de todos los grafos simples y doblemente corregidos, respectivamente, que se pueden hacer con n partículas

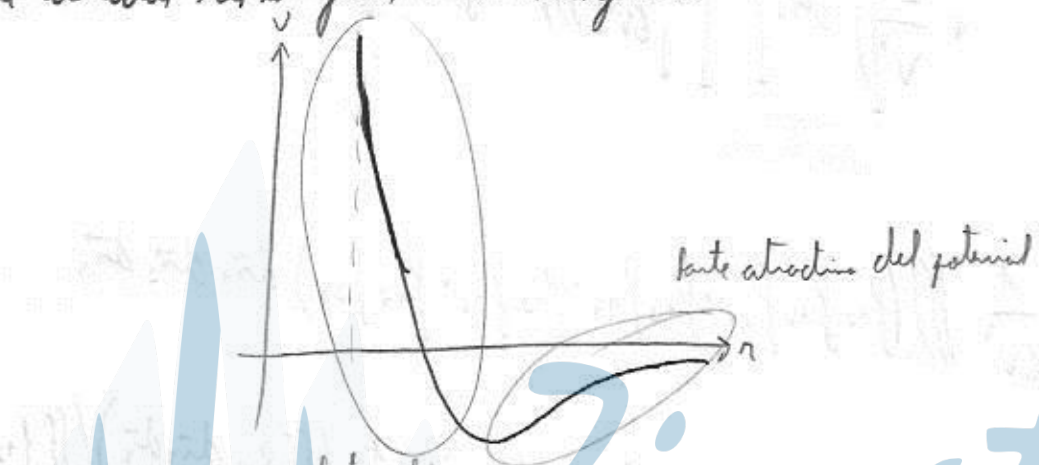
en f_{12} la función de Mayer. Pasando a coordenadas de C.M.:

$$f_{12} = e^{-\beta U_{12}} - 1 = f(\vec{r}) = e^{-\beta V(\vec{r})} - 1$$

entonces, $B_2(T) = -\frac{N_A}{2V} \int d\vec{r}_1 \int f(\vec{r}) d\vec{r} = -\frac{N_A}{2} \underbrace{\int f(\vec{r}) d\vec{r}}_{B_2(T)}$

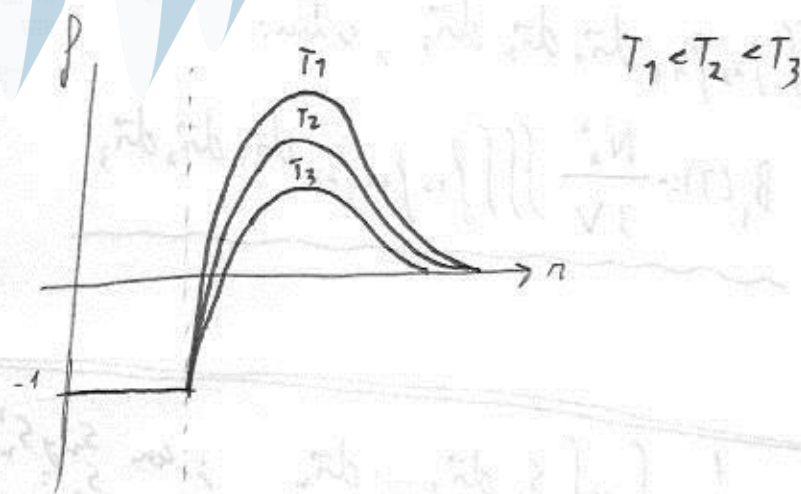
Mayer delle
 $\vec{r} = \vec{r}_1 - \vec{r}_2$
 $\vec{r}_2 = \vec{r}_1$

análogamente con todos los integrandos lineales. En general:



Zimatek

por tanto:



aproximadamente

una función más manejable porque no estalla

• Para Q_3 necesitaremos $V(\vec{r}_1, \vec{r}_2, \vec{r}_3)$. Si suponemos que las interacciones van a parar:

$$V(\vec{r}_1, \dots, \vec{r}_n) = \sum_{i,j} V(\vec{r}_i, \vec{r}_j)$$

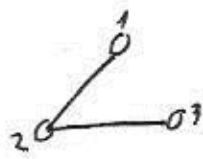
$i > j \rightarrow$ keroseno cero veces

hizo:

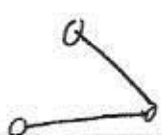
- Grafos simple conectados: al contar sus arcos, puede quedar algún punto libre
- Grafos doblemente conectados: al contar sus arcos, no queda punto libre

Ejemplo:

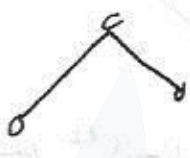
$n=3$:



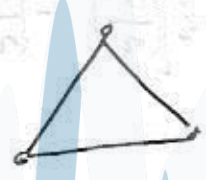
$$f_{12} f_{23}$$



$$f_{13} f_{23}$$

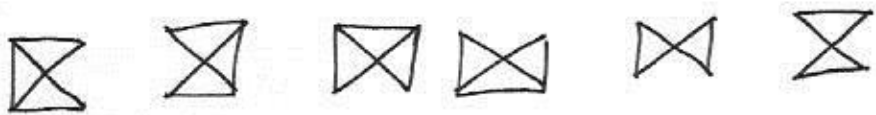


$$f_{12} f_{13}$$



$$f_{13} f_{12} f_{23}$$

$n=4$: basta sólo los doblemente conectados:



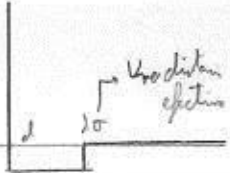
Alora viene la parte puramente: las integrales son del tipo $\int \dots \int (f_{12} f_{23} \dots) dx_1 \dots dx_n$

La pregunta del millón es: ¿cuál es la forma del potencial? Los resultados son:

• Potencial de esferas duras: $U(r) = \begin{cases} \infty & \text{si } r \leq d \\ 0 & \text{si } r > d \end{cases}$

notar que es totalmente repulsivo.

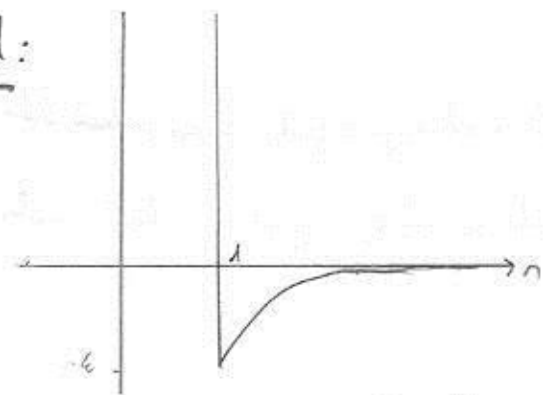
• Potencial de peso uniforme:



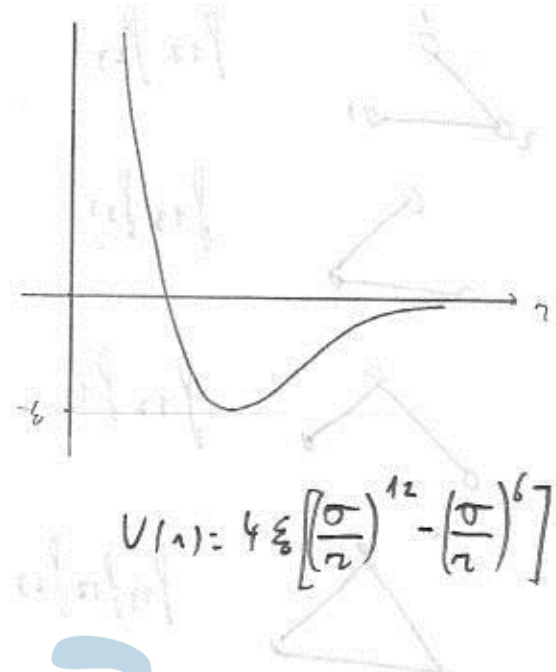
solo cambian tanto signo al potencial de esferas duras.

Potential de Lennard-Jones:

$$U(r) = -\frac{\epsilon}{r} \left(\frac{d}{r} \right)^{12}$$

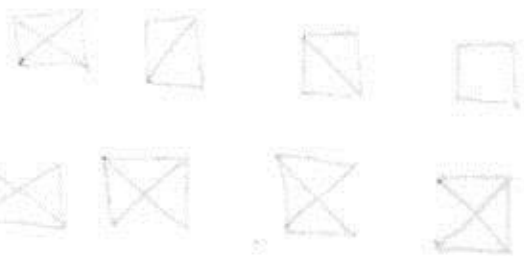


Potential de Sutherland:



$$U(r) = 4\epsilon \left[\left(\frac{\sigma}{r} \right)^{12} - \left(\frac{\sigma}{r} \right)^6 \right]$$

Zimatek



Deze verschillende symbolen stellen verschillende stoffen voor.

Deze symbolen kunnen worden gebruikt om verschillende stoffen te voorstellen.

zoals water, zuurstof, koolstof, enz.

zoals water, zuurstof, koolstof, enz.

ECUACIÓN DE VAN DER WAALS $(P + \frac{a}{v^2})(v - b) = kT$

- El potencial de Lennard-Jones es $\propto r^{-6}$: repulsión de esferas dura y atracción por fuerza de Van der Waals (dipolo-dipolo):

$$V(r) = \begin{cases} \infty & r < d_0 \\ -\frac{\epsilon_0}{r^6} & r \geq d_0 \end{cases}$$

- Hallamos la ecuación de Van der Waals teniendo el primer término del virial y haciendo $\frac{\epsilon_0}{kT} \ll 1 \Rightarrow$ las distancias interatómicas son mayores que los diámetros moleculares

$$P = \frac{kT}{v} \left(1 + \frac{B_2(T)}{v} \right)$$

bajando los cuadros:

$$B_2(T) = \frac{2\pi d_0^3}{3} \left(1 - \frac{\epsilon_0}{kT} \right)$$

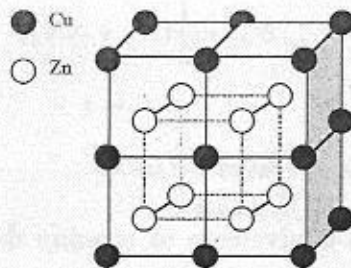
y da. (solución)

$$1 + \frac{2\pi d_0^3}{3v} \approx \underbrace{\left(1 - \frac{\epsilon_0}{kT} \right)^{-1}}_{\text{distancia límite}}$$

$$d_0 \ll \sqrt[3]{v} \Rightarrow \underbrace{\text{el volumen libre}}_{\text{para cada molécula}}$$

Hay 2 tipos de orden:
 - corto alcance: entre una molécula y vecinas próximas (e.g., en líquido)
 - largo alcance: global

TRANSICIONES ORDEN-DESORDEN MODELO DE BRAGG-WILLIAMS



→ entre 0K y 67OK predomina el orden de Zn en la red del Cu y viceversa)

ϵ_{AA} = energía de interacción (enlace) de A con A.

ϵ_{BB} = energía de interacción (enlace) de B con B.

ϵ_{AB} = energía de interacción (enlace) de A con B.

En la fase ordenada,
los átomos A están en los huecos
y los átomos B en los huecos

N_A = Número de partículas A (también, número de sitios (nudos) en la subred 1).

N_B = Número de partículas B (también, número de sitios (nudos) en la subred 2).

$N_A + N_B = N$ (Número total de partículas, que coincide con el número de sitios (nudos) en las dos subredes.).

N_{A1} = Número de átomos A en la subred 1.

N_{A2} = Número de átomos A en la subred 2.

N_{B1} = Número de átomos B en la subred 1.

N_{B2} = Número de átomos B en la subred 2.

la fracción de átomos totales que son tipo A

$$N_A = N_{A1} + N_{A2} \equiv c_A N$$

$$N_B = N_{B1} + N_{B2} \equiv c_B N$$

$$N_{A1} + N_{B1} = N/2 = N_{A2} + N_{B2} \rightarrow \text{a ambos subredes, deben sumar el doble}$$

$$N_A + N_B = N$$

(VII.1)

Hay dos tipos de desorden:

$\alpha \rightarrow \beta$

a 750°C hay una transición de fase. La mitad de los sitios de Cu

$\beta \rightarrow \alpha$

están ocupados por átomos de Zn y viceversa. Esto constituye la transición orden → desorden

Parámetros de orden

$$m = \frac{N_{A1} - N_{A2}}{N_A} \quad (\text{VII.2})$$

$m = 1 \Rightarrow$ Orden completo (todos los átomos en una sola)

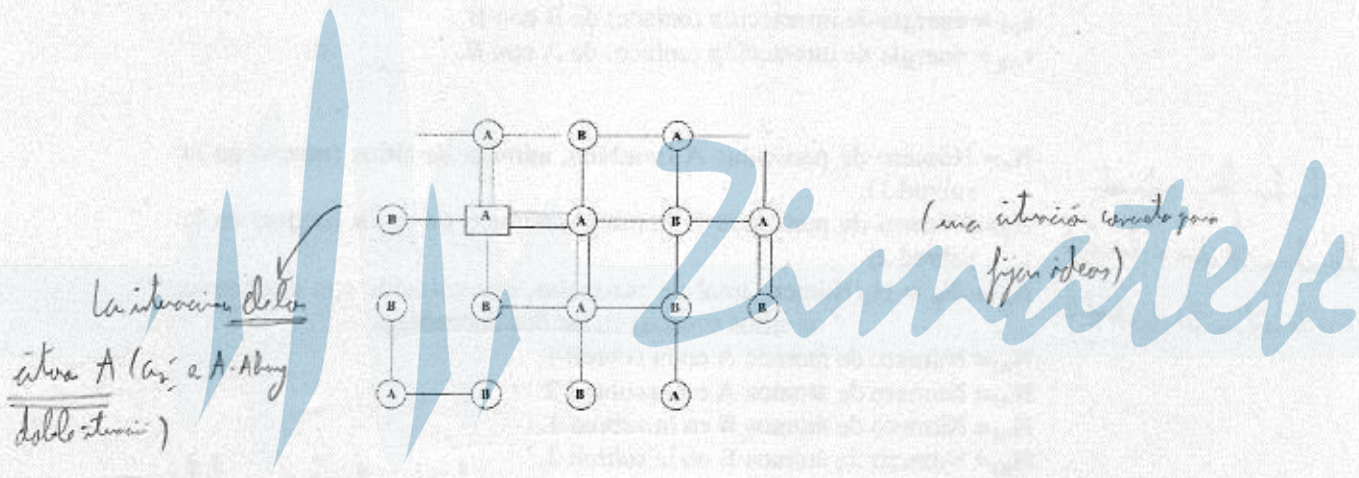
$$N_{A1} = \frac{1}{2} N_A (1 + m) ; N_{B1} = \frac{1}{2} (N_B - m N_A)$$

$$N_{A2} = \frac{1}{2} N_A (1 - m) ; N_{B2} = \frac{1}{2} (N_B + m N_A) \quad (\text{VII.3})$$

$$E = N_{AA} \varepsilon_{AA} + N_{BB} \varepsilon_{BB} + N_{AB} \varepsilon_{AB} \quad (\text{VII.4})$$

el cual es a todos los efectos equivalente al término de interacción entre espines del modelo de Ising:

$$E = J \sum_{\langle i,j \rangle} \vec{S}_i \vec{S}_j \quad (\text{VII.5})$$



$$qN_A \equiv 2N_{AA} + N_{AB} \rightarrow \text{el valor de interacción de sitio A (en) y B (negro) es igual} \quad (6)$$

$$qN_B \equiv 2N_{BB} + N_{AB} \quad (7)$$

Trabajo de los tensores $F = -kT \ln Z = V - TS$

↓

$$N_{AA} \varepsilon_{AA} + N_{BB} \varepsilon_{BB} + N_{AB} \varepsilon_{AB}$$

(no incluye la parte cinética porque no tiene la tensión.)

pág. 17

el problema que queremos $V - V(m)$

$$\begin{aligned} N_{AB} &= qN_A - 2N_{AA} \\ N_{BB} &= \frac{1}{2}qN + N_{AA} - qN_A \end{aligned} \quad (8)$$

$$\begin{aligned} E &= (\varepsilon_{AA} + \varepsilon_{BB} - 2\varepsilon_{AB})N_{AA} + [q(\varepsilon_{AB} - \varepsilon_B)N_A + \frac{1}{2}q\varepsilon_{BB}N] = \\ &= (\varepsilon_{AA} + \varepsilon_{BB} - 2\varepsilon_{AB})N_{AA} + \text{cte.} \end{aligned} \quad (9)$$

Para hallar N_{AA} , plantea la hipótesis de que orden de corto alcance y orden de largo alcance están relacionados:

$$\frac{N_{A1}}{N} \text{ y } \frac{N_{A2}}{N} \Rightarrow \text{Orden de largo alcance} \quad (10)$$

(cavita alta, boy cuando sube)

$$\frac{N_{AA}}{N} \Rightarrow \text{Orden de corto alcance.} \quad (11)$$

*q/2 (cavita interior A-Alga) \Rightarrow cava - llena
de A (álga cerca de A)*

inducción de orden de corto alcance a partir del de largo alcance la escriben Bragg y Willians matemáticamente como:

$$\frac{N_{AA}}{N} = \frac{N_{A1}}{N} \frac{N_{A2}}{N} \quad \text{(no existe desviación igual)} \quad (12)$$

$$N_{AA} = qc_A^2 \frac{N}{2} (1 - m^2) \quad (13)$$

$$E = \text{cte} - qNc_A^2 \varepsilon m^2 \quad (14)$$

con

$$\varepsilon = \frac{1}{2}(\varepsilon_{AA} + \varepsilon_{BB}) - \varepsilon_{AB} \quad (15)$$

$$F = U - TS \quad (16)$$

$$S = -k \left[N_{A1} \ln \frac{2N_{A1}}{N} + N_{A2} \ln \frac{2N_{A2}}{N} + N_{B1} \ln \frac{2N_{B1}}{N} + N_{B2} \ln \frac{2N_{B2}}{N} \right] \quad (17)$$

$$\left(\frac{\partial F}{\partial m} \right)_{T,V,m} = -2qc_A\varepsilon m + \frac{1}{2}kT \ln \frac{(1+m)(c_B+c_Am)}{(1-m)(c_B-c_Am)} = 0 \quad \text{Incluso de todo} \quad (18)$$

\downarrow
Se cumplen

$$\left(\frac{\partial^2 F}{\partial m^2} \right)_{\substack{\text{(para)} \\ m=0}} > 0 \quad (19)$$

$$-2qc_A\varepsilon + kT \frac{(c_A + c_B)}{c_B} > 0 \quad (20)$$

lo que, teniendo en cuenta que $c_A + c_B = 1$,

$$T > \frac{2qc_Ac_B}{k} = T_c \quad (21)$$

Si ahora particularizamos para la aleación CuZn ($c_A = c_B = 1/2$)

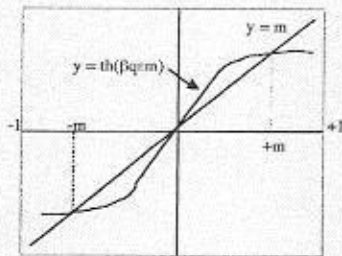
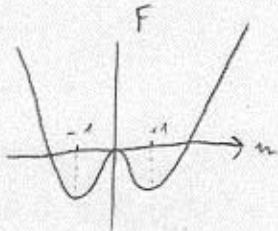
$$-q\varepsilon m + \frac{1}{2}kT \ln \left(\frac{1+m}{1-m} \right)^2 = 0 \quad (22)$$

$$\frac{1+m}{1-m} = e^{2\beta q\varepsilon m} \quad (23)$$

$$m = \frac{e^{2\beta q \epsilon m} - 1}{e^{2\beta q \epsilon m} + 1} = \frac{e^{\beta q \epsilon m} - e^{-\beta q \epsilon m}}{e^{\beta q \epsilon m} + e^{-\beta q \epsilon m}} = \tanh \beta q \epsilon m \rightarrow \text{modo}$$

estacionaria

de modo giratorio



\Rightarrow Hay 3 puntos de corte!!!

$w=0$ es instable ($\frac{\partial^2 F}{\partial n^2} < 0$) \Rightarrow Sist. inst.

por arriba T_c , solo se mantiene $m=0$

instable \Rightarrow Transición
defectiva

$$m = 0 \quad \text{si} \quad \frac{q\epsilon}{kT} \leq 1$$

$$(25)$$

$$m = \begin{cases} +m_0 & \text{si } \frac{q\epsilon}{kT} > 1 \\ 0 & \text{si } \frac{q\epsilon}{kT} = 1 \\ -m_0 & \text{si } \frac{q\epsilon}{kT} < 1 \end{cases}$$

$$T = \frac{q\epsilon}{k} = T_c \quad (26)$$